

КРАТКИЕ СООБЩЕНИЯ

УДК 548.736

КРИСТАЛЛИЧЕСКАЯ СТРУКТУРА И ТЕРМИЧЕСКИЕ СВОЙСТВА $\text{Na}_2[\text{ReCl}_6] \cdot 6\text{H}_2\text{O}$ © 2011 Е. А. Шушарина^{1, 2*}, А. В. Задесенец^{1, 2}, С. А. Громилов^{1, 2}¹Учреждение Российской академии наук Институт неорганической химии им. А.В. Николаева СО РАН, Новосибирск²Новосибирский государственный университет, Научно-образовательный комплекс "Наносистемы и современные материалы", Новосибирск

Статья поступила 7 апреля 2010 г.

Определена кристаллическая структура $\text{Na}_2[\text{ReCl}_6] \cdot 6\text{H}_2\text{O}$. Кристаллографические характеристики: $a = 6,6955(2)$, $b = 7,0926(2)$, $c = 8,3667(3) \text{ \AA}$; $\alpha = 102,567(1)$, $\beta = 98,853(2)$, $\gamma = 107,236(1)^\circ$; $V = 360,08(2) \text{ \AA}^3$, пр. гр. $P-1$, $Z = 1$, $d_x = 2,550 \text{ г/см}^3$. Изучены термические свойства $\text{Na}_2[\text{ReCl}_6] \cdot 6\text{H}_2\text{O}$ в атмосфере водорода. При термолизе двойной комплексной соли $\text{Na}_2[\text{ReCl}_6]_{0,50}[\text{PtCl}_6]_{0,50} \cdot 6\text{H}_2\text{O}$ в атмосфере водорода получены нанокристаллические твердые растворы $\text{Re}_x\text{Pt}_{1-x}$.

Ключевые слова: рений, платина, термолиз, кристаллохимия, рентгеноструктурный анализ, рентгенофазовый анализ.

Гексахлоридные соли переходных металлов широко используются в катализе в качестве предшественников нанокристаллических порошков [1]. Изоструктурность солей, относящихся к структурному типу $\text{K}_2[\text{PtCl}_6]$, позволяет получать би- и полиметаллические предшественники. Очевидно, что для этих целей могут быть использованы и другие соли. Так, в литературе известна кристаллическая структура гексагидрата гексахлорплатината(IV) — $\text{Na}_2[\text{PtCl}_6] \cdot 6\text{H}_2\text{O}$, однако сведений о других подобных фазах мы не обнаружили. В настоящей работе была исследована кристаллическая структура $\text{Na}_2[\text{ReCl}_6] \cdot 6\text{H}_2\text{O}$.

Гексагидрат гексахлорорената(IV) натрия готовили по аналогии с $\text{K}_2[\text{ReCl}_6]$ [2]. Навески NaReO_4 (6,33 г) и NaH_2PO_2 (6,7 г) растворяли в 500 мл HCl (конц.) в конической колбе. Нагревали при перемешивании до $\sim 95^\circ\text{C}$, накрывали часовым стеклом и выдерживали при этой температуре в течение суток. При этом раствор упаривался до ~ 100 мл. Так как растворимость натриевой соли значительно выше калийной, при охлаждении в осадок в первую очередь выпадал хлорид натрия. Кроме того, в системе образуется значительное количество мелкодисперсного осадка черного цвета (предположительно ReO_2). При дальнейшем концентрировании в твердую фазу выделяются крупные кристаллы искомой соли. Для очистки продукта от указанных примесей проводили перекристаллизацию из этанола.

Исследование монокристалла $\text{Na}_2[\text{ReCl}_6] \cdot 6\text{H}_2\text{O}$ проведено на автоматическом дифрактометре BRUKER X8 APEX (MoK_α -излучение, графитовый монохроматор, область углов θ от 2,57 до $30,50^\circ$, 3772 экспериментальных и 2128 независимых отражений) при $T = 150(2)$ К. Размеры монокристалла $0,13 \times 0,12 \times 0,05$ мм. Кристаллографические характеристики: $a = 6,6955(2)$, $b = 7,0926(2)$, $c = 8,3667(3) \text{ \AA}$, $\alpha = 102,567(1)$, $\beta = 98,853(2)$, $\gamma = 107,236(1)^\circ$; $V = 360,08(2) \text{ \AA}^3$, пр. гр. $P-1$, $Z = 1$, $d_x = 2,550 \text{ г/см}^3$. Структура решена прямым методом и уточнена в анизотропном приближении. Атомы Н локализованы геометрически, параметры их тепловых колебаний

* E-mail: knilav@ngs.ru

Таблица 1

Координаты и эквивалентные тепловые параметры атомов в структуре $\text{Na}_2[\text{ReCl}_6] \cdot 6\text{H}_2\text{O}$

Атом	$x/a, \text{\AA}$	$y/b, \text{\AA}$	$z/c, \text{\AA}$	$U_{\text{экв}}, \text{\AA}^2$
Re(1)	0	0	0,5	0,01125(3)
Cl(1)	-0,23632(7)	0,18752(7)	0,51494(6)	0,01764(8)
Cl(2)	0,27151(7)	0,29823(7)	0,49843(6)	0,01789(8)
Cl(3)	0,09959(7)	0,09322(7)	0,79861(5)	0,01783(8)
Na(1)	0,54304(14)	0,26996(13)	0,02123(11)	0,02196(16)
O(1)	0,3656(3)	0,4975(2)	0,14342(18)	0,0213(3)
O(2)	0,9075(3)	0,3881(2)	0,1826(2)	0,0261(3)
O(3)	0,4029(2)	0,0127(2)	0,15790(18)	0,0208(3)

не уточнялись. При окончательном полноматричном уточнении 88 структурных параметров значения факторов расходимости составили: $R_1 = 0,0122$, $wR_2 = 0,0295$, для 2126 отражений с $I \geq 2\sigma(I)$ $R_1 = 0,0122$, $wR_2 = 0,0295$, S -фактор по $F^2 = 1,064$. Все расчеты выполнены по комплексу программ SHELXTL [3]. Координаты базисных атомов и их эквивалентные тепловые факторы приведены в табл. 1. $\text{Na}_2[\text{ReCl}_6] \cdot 6\text{H}_2\text{O}$ оказалась изоструктурной $\text{Na}_2[\text{PtCl}_6] \cdot 6\text{H}_2\text{O}$, сравнительные характеристики солей приведены в табл. 2.

Термогравиметрические измерения в атмосфере водорода проведены на термовесах TG 209 F1 Iris фирмы NETZSCH (масса навески 46,5 мг, Al_2O_3 -тигель, скорость нагрева 10 град./мин). Обработка результатов экспериментов проведена с использованием стандартного пакета программного обеспечения Proteus Analysis [4]. Кривая термического разложения приведена на рис. 1. На первой ступени (40—120 °C) происходит полное обезвоживание образца (расчитанное содержание воды в соли составляет 19,7 %). Дальнейшее нагревание приводит к полному восстановлению рения. Потеря массы составила 44,35 %, что соответствует образованию смеси $\text{Re} + 2\text{NaCl}$ (вычисленное значение потери массы — 45,19 %).

Рентгенофазовый анализ (РФА) был проведен на дифрактометре ARL X'TRA (CuK_{α} -излучение, комнатная температура). Все линии дифрактограммы комплексной соли $\text{Na}_2[\text{ReCl}_6] \cdot 6\text{H}_2\text{O}$ были проиндексированы по данным исследования монокристалла, что указывает на однозначность синтезированного продукта. Дифрактограмма продукта термолиза была проинтерпретирована с использованием базы данных PDF-2 [5], установлено наличие NaCl , Re (с размерами областей когерентного рассеяния (ОКР) 9 нм) и NaReO_4 . Наличие последней фазы может указывать на то, что мелкодисперсный рений окисляется на воздухе с образованием ренийской кислоты, которая реагирует с NaCl .

Микроскопическое исследование продукта термолиза $\text{Na}_2[\text{ReCl}_6] \cdot 6\text{H}_2\text{O}$, проведенное на сканирующем электронном микроскопе Hitachi TM-1000, показало наличие псевдоморфизма, т.е. сохранение огранки предшественника (рис. 2).

Нумерация атомов в кристаллической структуре $\text{Na}_2[\text{ReCl}_6] \cdot 6\text{H}_2\text{O}$ показана на рис. 3. Координационный полиэдр атома Re —искаженный октаэдр, образован шестью атомами Cl. Рас-

Таблица 2

Сравнительные кристаллоструктурные характеристики $\text{Na}_2[\text{ReCl}_6] \cdot 6\text{H}_2\text{O}$ и $\text{Na}_2[\text{PtCl}_6] \cdot 6\text{H}_2\text{O}$

Параметр	$\text{Na}_2[\text{ReCl}_6] \cdot 6\text{H}_2\text{O}$ Наст. работа	$\text{Na}_2[\text{PtCl}_6] \cdot 6\text{H}_2\text{O}$ ICSD № 50571 [6]	Параметр	$\text{Na}_2[\text{ReCl}_6] \cdot 6\text{H}_2\text{O}$ Наст. работа	$\text{Na}_2[\text{PtCl}_6] \cdot 6\text{H}_2\text{O}$ ICSD № 50571 [6]
$a, \text{\AA}$	6,6955(2)	6,7458(5)	$\alpha, \text{град.}$	102,567(1)	101,99(1)
$b, \text{\AA}$	7,0926(2)	7,097(1)	$\beta, \text{град.}$	98,853(2)	98,725(9)
$c, \text{\AA}$	8,3667(3)	8,3756(8)	$\gamma, \text{град.}$	107,236(1)	108,238(7)
$V, \text{\AA}^3$	360,08(2)	362,25(8)	$d_x, \text{г/см}^3$	2,550	2,576

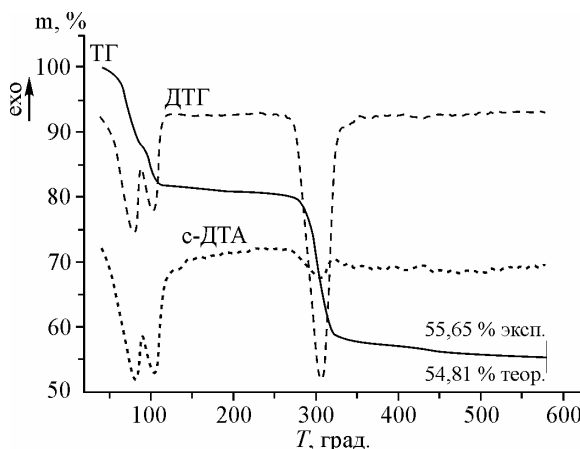


Рис. 1. Кривая термического разложения $\text{Na}_2[\text{ReCl}_6] \cdot 6\text{H}_2\text{O}$ в атмосфере водорода

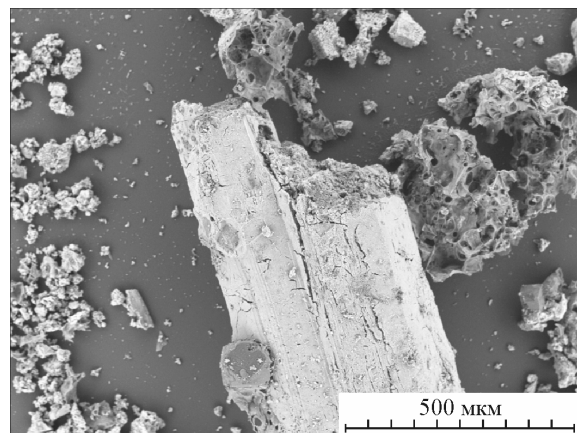


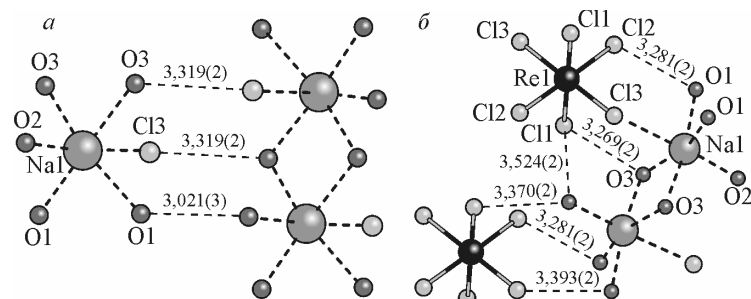
Рис. 2. Псевдоморфизм продукта термолиза $\text{Na}_2[\text{ReCl}_6] \cdot 6\text{H}_2\text{O}$

стояния Re—Cl лежат в интервале 2,3494(5)—2,3729(4) Å, а отклонения валентных углов Cl—Re—Cl от 90° не превышают 1,23(2)°. Литературные значения расстояний Re—Cl в соединениях $\text{A}_2[\text{ReCl}_6]$ ($\text{A} = \text{K}^+, \text{Cs}^+, \text{Ag}^+, \text{NH}_4^+$) с идеальным октаэдрическим окружением атома Re лежат в пределах 2,353—2,362 Å [6].

Окружение атома Na — искаженное октаэдрическое, в него входит пять молекул воды и один атом хлора, принадлежащий комплексному аниону ($\text{Na} \dots \text{Cl}$ — 2,989(1) Å). Расстояния Na...O лежат в интервале 2,375(2)—2,419(2) Å, отклонения углов O...Na...O от 90° достигают 8,72(6)°. Углы O(1)...Na...Cl 88,39(5) и 76,91(5)°; O(3)...Na...Cl 83,57(5) и 83,46(4)°; O(2)...Na...Cl 174,65(6)°. Координационные полиэдры $\text{Na}(\text{OH}_2)_5\text{Cl}$ связаны между собой ребрами так, что образуются цепочки, которые, в свою очередь, связываются через анионные мостики $[\text{ReCl}_6]^{2-}$. В результате, в направлении [−2 0 2] можно выделить отдельные слои, образованные из связанных катионов и анионов. Слои упаковываются так, что между атомами кислорода O(1) и O(3) одного слоя и атомом кислорода O(2) другого слоя образуются водородные связи 3,021(3) Å (см. рис. 3, a). Наиболее короткие водородные связи Cl...O между слоями 3,319(2) Å, а внутри слоев 3,269(2)—3,524(2) Å (см. рис. 3, б). В слоях цепочки катионов чередуются с цепочками анионов, так как последних в 2 раза меньше, между катионами находятся пустоты, представляющие собой искаженные октаэдры, которые образованы четырьмя атомами хлора и двумя молекулами воды (см. графический реферат).

Мотив построения кристаллической структуры был определен по методике выделения трансляционных подрешеток [7], согласно которой детерминант матрицы (Δ), составленной из индексов наиболее интенсивных отражений, должен быть равным числу тяжелых фрагментов ячейки. С учетом имеющейся полости и трех относительно тяжелых фрагментов, Δ должна быть равна 4. Анализ теоретической дифрактограммы показал, что наиболее симметричная подрешетка может быть выделена при использовании следующей тройки отражений от кри-

Рис. 3. Водородные связи O...Cl и O...O, связывающие фрагменты структуры $\text{Na}_2[\text{ReCl}_6] \cdot 6\text{H}_2\text{O}$. Атомы водорода не показаны



сталлографических плоскостей $(-1\ 0\ 1)$, $(1\ -2\ 0)$ и $(1\ 0\ 1)$. Векторы трансляционной подрешетки: $\mathbf{a}_k = -\mathbf{a}/2 - \mathbf{b}/4 + \mathbf{c}/2$, $\mathbf{b}_k = -\mathbf{b}/2$, $\mathbf{c}_k = \mathbf{a}/2 + \mathbf{b}/4 + \mathbf{c}/2$. Значения параметров подъячейки: $a_k = 5,99$, $b_k = 3,55$, $c_k = 4,46 \text{ \AA}$, $\alpha_k = 88,38^\circ$, $\beta_k = 75,87^\circ$, $\gamma_k = 73,60^\circ$.

Изоструктурность $\text{Na}_2[\text{ReCl}_6] \cdot 6\text{H}_2\text{O}$ и $\text{Na}_2[\text{PtCl}_6] \cdot 6\text{H}_2\text{O}$ позволила получить их твердый раствор $\text{Na}_2[\text{ReCl}_6]_{0,50}[\text{PtCl}_6]_{0,50} \cdot 6\text{H}_2\text{O}$ путем концентрирования на воздухе совместного этанольного раствора $\text{Na}_2[\text{ReCl}_6] \cdot 6\text{H}_2\text{O}$ и $\text{Na}_2[\text{PtCl}_6] \cdot 6\text{H}_2\text{O}$ (1:1). Исходную комплексную соль $\text{Na}_2[\text{PtCl}_6] \cdot 6\text{H}_2\text{O}$ получали по стандартной методике [8]. Термолиз $\text{Na}_2[\text{ReCl}_6]_{0,50}[\text{PtCl}_6]_{0,50} \cdot 6\text{H}_2\text{O}$ проводили следующим образом. Навеску вещества в кварцевой лодочке помещали в трубчатый кварцевый реактор, в котором пропускали ток водорода. Нагревание до 600°C со скоростью 20 град./мин проводили в разъемной печи. Систему выдерживали при данной температуре 3 ч, после чего для отгонки водорода в реактор подавали гелий в течение 15 мин и охлаждали. По данным РФА продукт термолиза представляет собой смесь нанокристаллических твердых растворов на основе рения ($a = 2,765(2)$, $c = 4,432(3) \text{ \AA}$, пр. гр. $P6_3/mmc$, ОКР $\sim 11 \text{ nm}$) и платины ($a = 3,905(3) \text{ \AA}$, пр. гр. $Fm-3m$, ОКР $\sim 9 \text{ nm}$), а также NaCl . При выдерживании образца на воздухе (~ 70 дней) появляются дифракционные линии, относящиеся к NaReO_4 .

Авторы выражают благодарность аспиранту Е.Ю. Семитуту за проведение термических исследований.

Работа выполнена при поддержке Российского фонда фундаментальных исследований 08-03-00603, Междисциплинарного проекта Президиума СО РАН № 112 и Государственного контракта № П960 Федеральной целевой программы "Научные и научно-педагогические кадры инновационной России" на 2009—2013 гг.

СПИСОК ЛИТЕРАТУРЫ

- Пат. 2294240 РФ. Способ приготовления нанесенных полиметаллических катализаторов (варианты) / В.А. Собянин, П.В. Снытников, Д.В. Козлов и др. – Опубл. 27.03.07 // Бюл. № 6. – 44 с.
- Руководство по неорганическому синтезу / Под ред. Г. Брауэра. – М.: Мир, 1985. – Т. 5. – С. 1728.
- Sheldrick G.M. // Acta Crystallogr. – 2008. – A64. – Р. 112 – 122.
- NETZSCH Proteus Thermal Analysis v. 4.8.1. NETZSCH-Gerätebau, Germany, 2005.
- Powder Diffraction File. Inorganic Phases, International Centre for Diffraction Data, Pennsylvania, USA. – 2009.
- Inorganic Crystal Structure Database, Fachinformationszentrum Karlsruhe, D-1754 Eggenstein—Leopoldshafen, Germany, 2008.
- Борисов С.В. // Журн. структур. химии. – 1986. – 27, № 3. – С. 164 – 167.
- Синтез комплексных соединений металлов платиновой группы / Под ред. И.И. Черняева. – М.: Наука, 1964. – С. 97.